

惑星磁気圏超並列高効率 MHDシミュレーションの開発

深沢圭一郎¹、荻野瀧樹²、梅田隆行²、
石井 克哉³、永井 亨³

1. 九州大学情報基盤研究開発センター
2. 名古屋大学太陽地球環境研究所
3. 名古屋大学情報基盤センター

1. Introduction

- 太陽地球惑星系科学の紹介
- 土星磁気圏におけるプラズマ対流構造とオーロラ
- Motivation

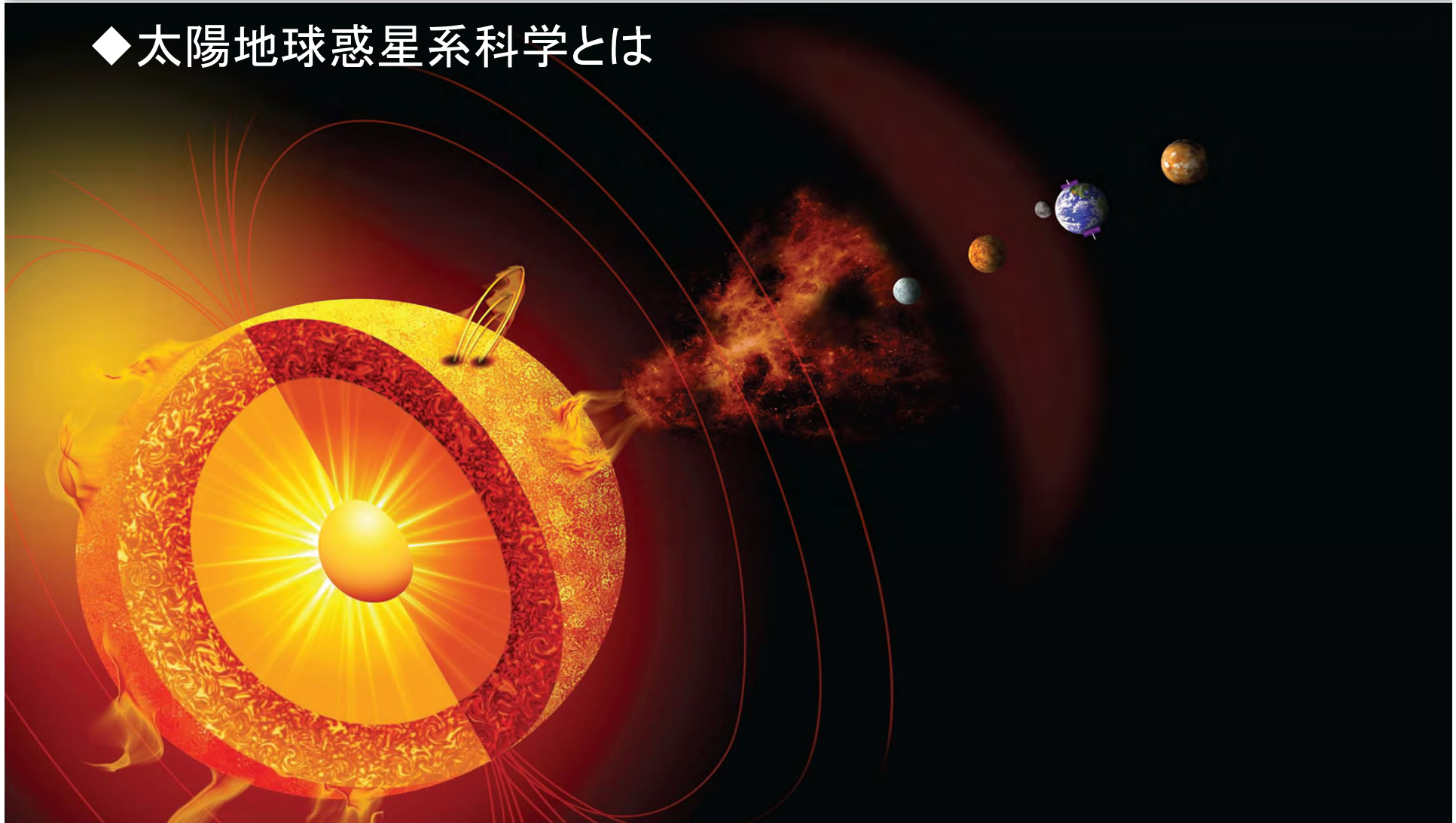
2. Simulation Results

3. Aurora configuration and vortices

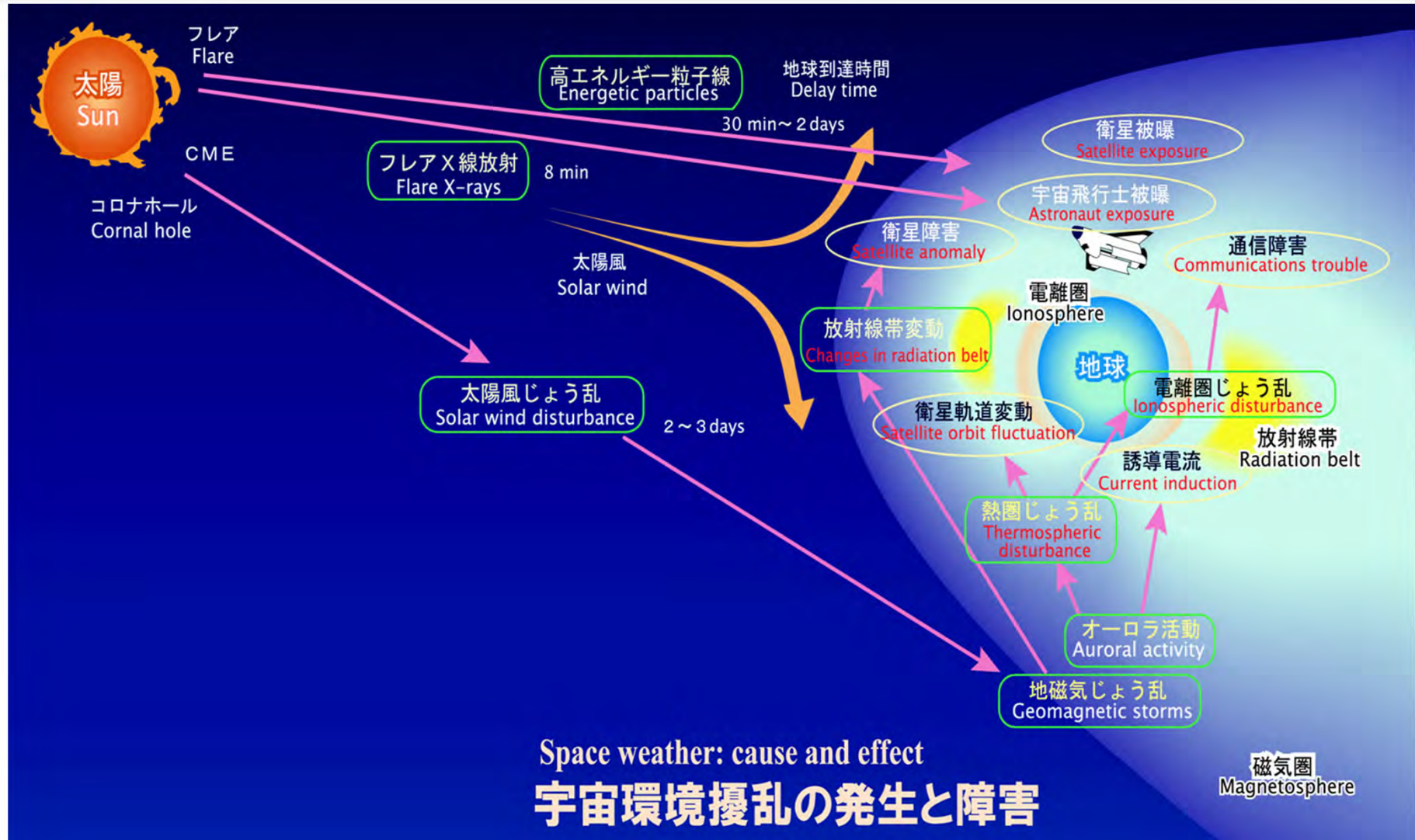
4. Summary



◆太陽地球惑星系科学とは



Introduction -2



◆地球、木星、土星における電磁気的特徴

	Jupiter	Saturn	Earth
Magnetic field [nT]	420,000	21,000	31,000
Magnetic polarity	N pole is north	N pole is north	N pole is south
Rotation period [hr]	10	10.65	24
Main plasma source	Io, ionosphere	Enceladus, ionosphere	ionosphere
Equatorial Radius [km]	71,492	60,268	6378
From Sun [A.U.]	5.2	9.55	1

木星は巨大な磁場と豊富なプラズマを持って高速自転する。
土星は豊富なプラズマを持って高速自転する。



◆地球、土星磁気圏の形

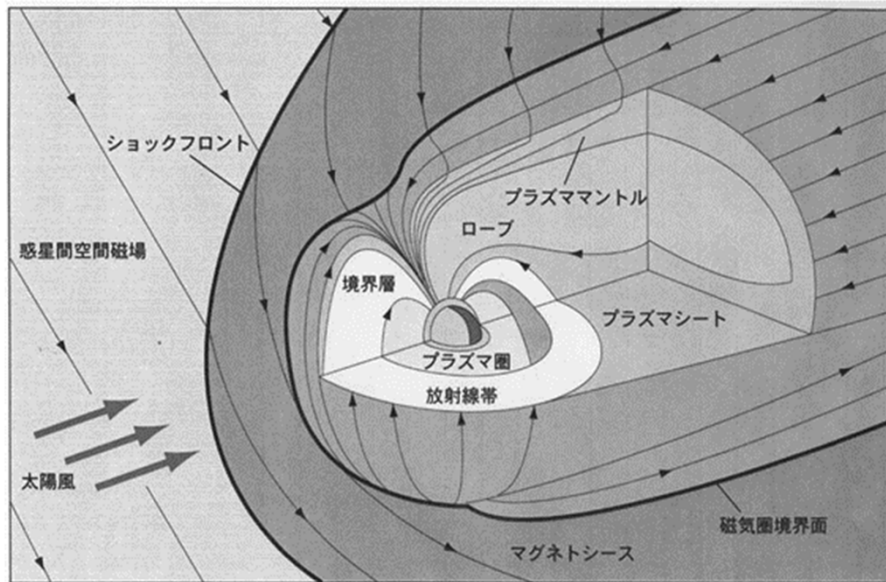


Fig.1. A schematic of Terrestrial magnetosphere

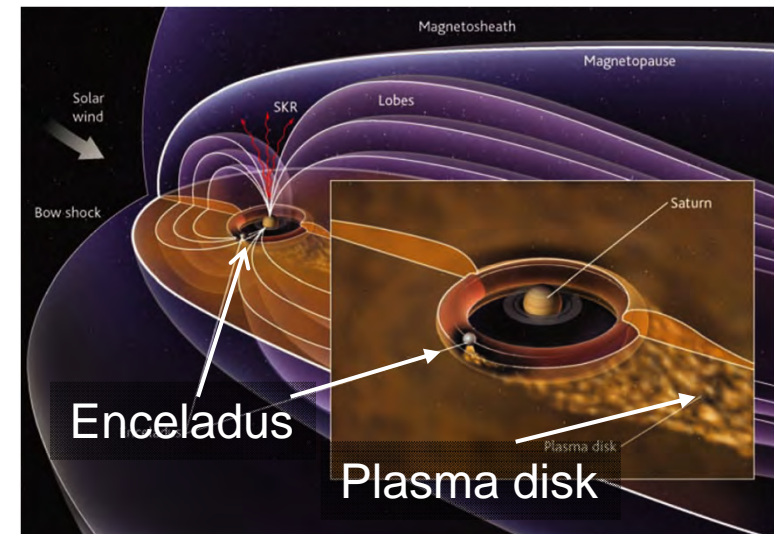
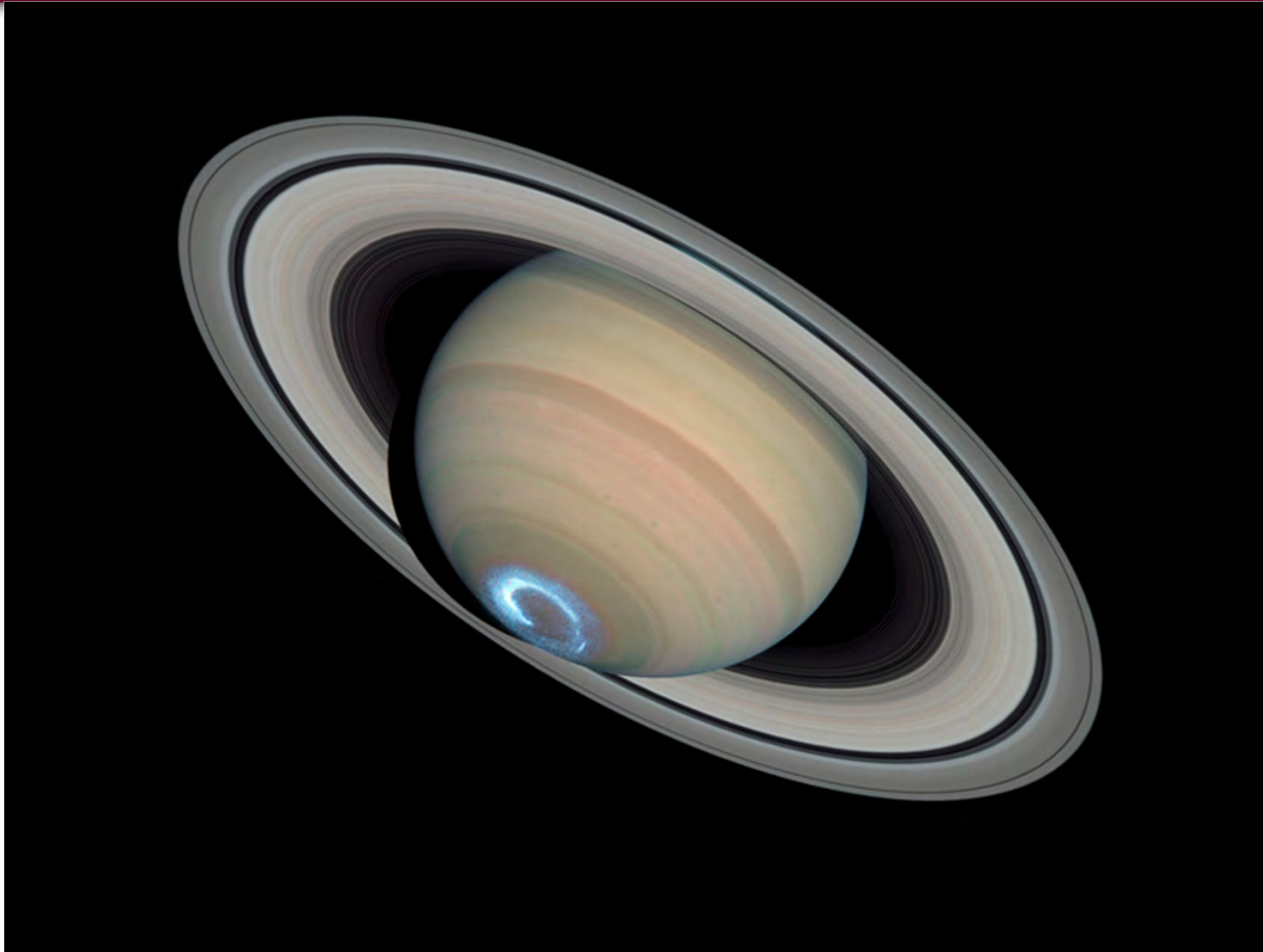


Fig.2. Schematic of Saturn's magnetosphere [Kivelson, 2006]

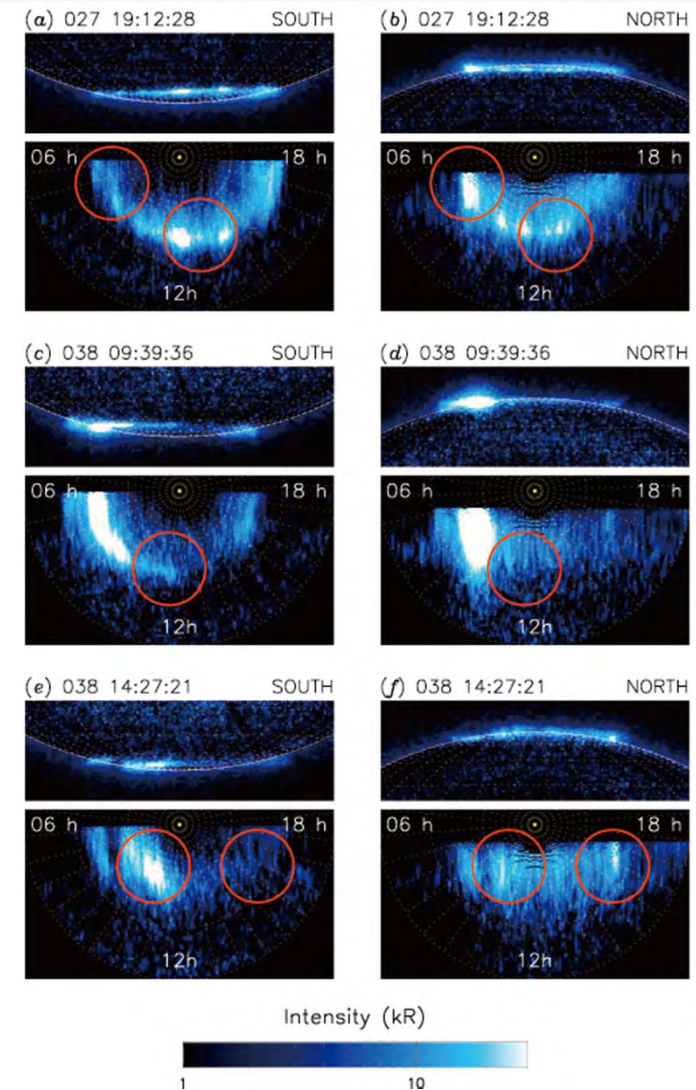
土星は高速自転しているため、磁気圏内のプラズマ対流が複雑。



◆ Observation of Saturn's aurora

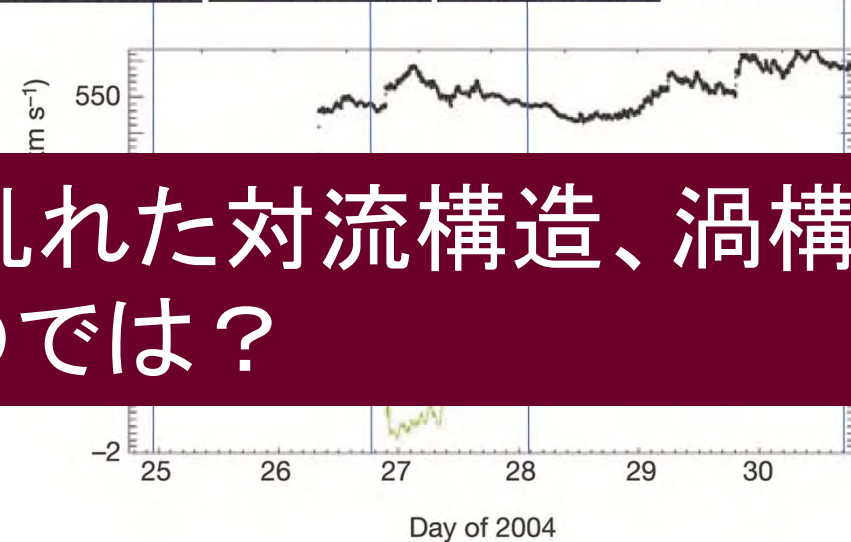
- A large number of images of Saturn's UV aurorae have become available from the Hubble Space Telescope in the past few years [e.g. *Grodent et al., 2005; Clarke et al., 2009; Nichols et al., 2009*].

Fig.3. Three examples of images exhibiting hemispherically asymmetric auroral forms [*Nichols et al., 2009*]. Obvious asymmetries are highlighted by the red circles.



◆HSTとCassiniの同時観測(2004年)

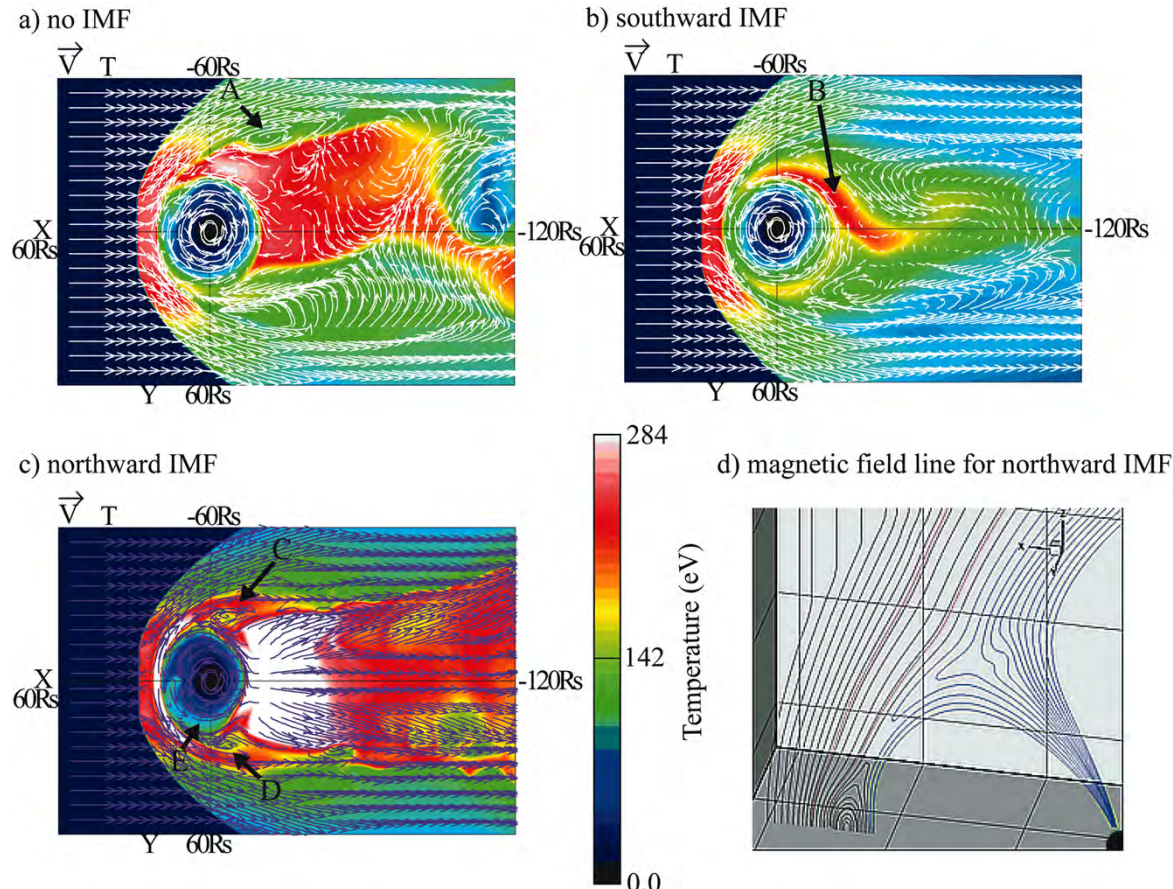
- Cassiniが太陽風を観測して($500R_S$ 程度上流)、HSTが土星のオーロラを撮像。



- 土星磁気圏の乱れた対流構造、渦構造に関係するのでは？

Fig.4. Comparison between HST images and solar wind conditions propagated to Saturn for the period 25–30 January 2004 [Crary *et al.*, 2005]

◆土星磁気圏対流構造



どの条件においても土星磁気圏では渦構造が発達している。

no IMF、southward IMFではスケールの大きな渦、northward IMFでは小さいが、強い渦が見える。

Fig.5. The temperature and flow vectors in the equatorial plane for the simulations with no IMF (a), southward (b) and northward IMF (c) [Fukazawa et al., 2007a]

◆対流構造と沿磁力線電流の関係

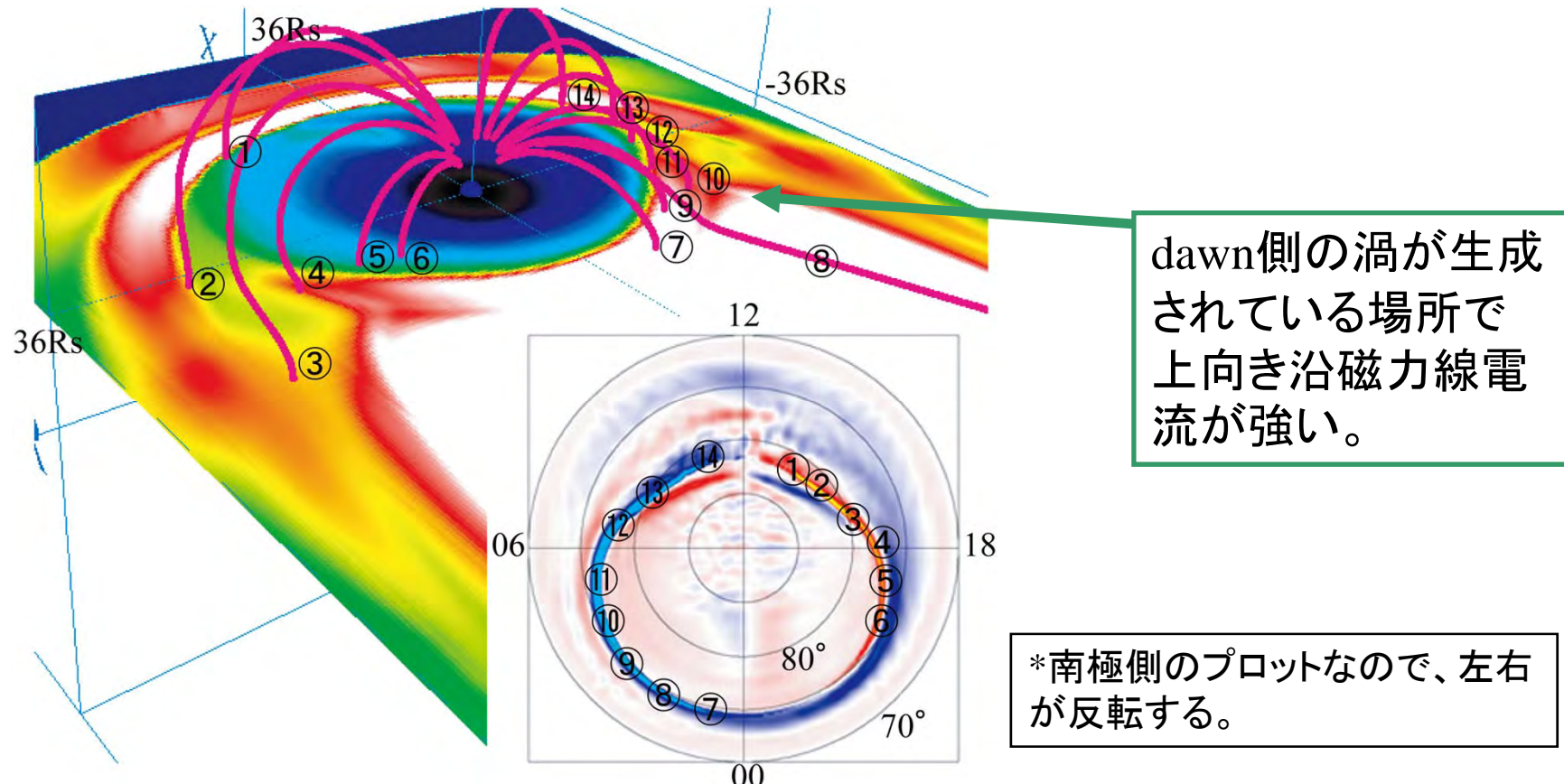
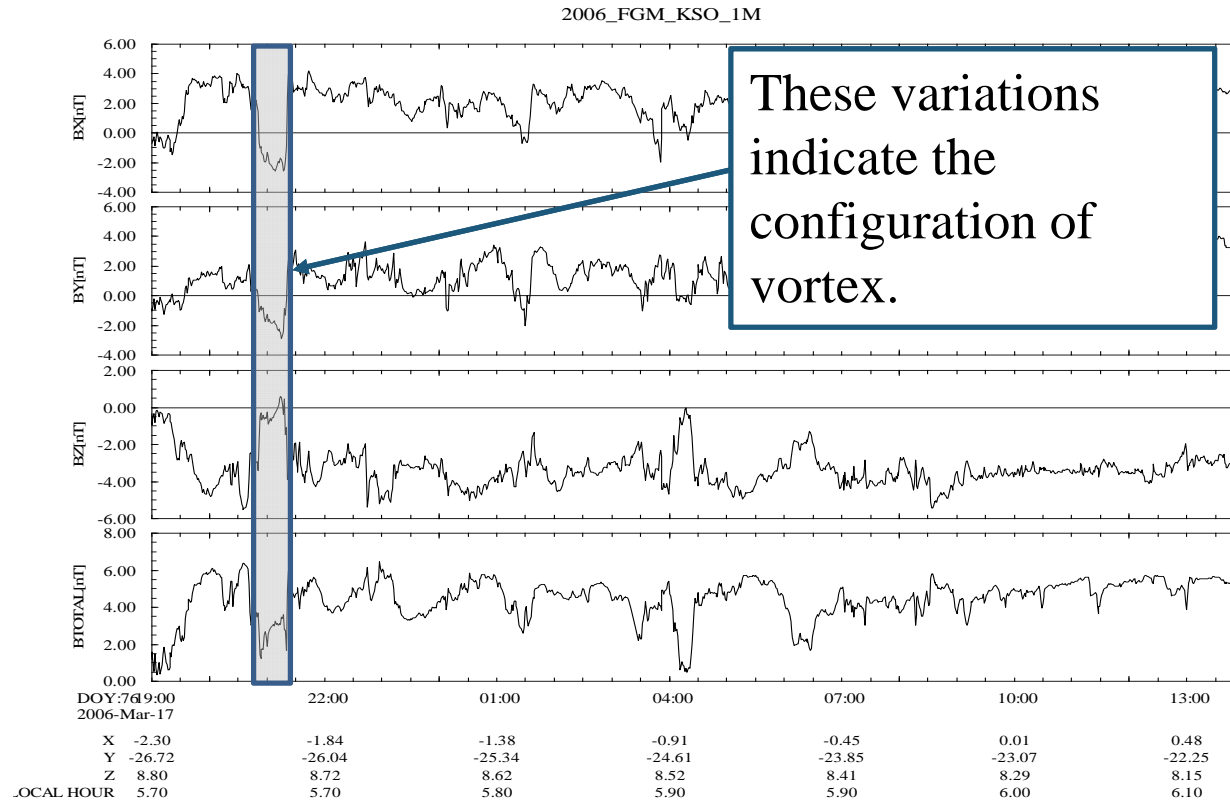


Fig.6. The magnetic field connection from the polar region to the magnetosphere [Fukazawa et al., 2007a]

◆ Vortex at dawn in the observations by Cassini



Masters et al. [2009] studied Cassini magnetic field and thermal plasma observations at the dawn magnetopause to infer tailward propagating surface waves on the boundary and suggested they were caused by the K-H instability.

Fig. 7. One minute averages of Cassini magnetic field observations in KSO coordinates (X – Saturn to Sun, Z-upward normal to Saturn’s orbital plane, Y – completes a right handed system) on March 17 and 18, 2006 [Walker et al., 2011].



◆ Study of Kronian aurora from simulation

- We want to know the effect of magnetospheric convection to the aurora.
- We do not have an enough spatial resolution to know that.
 - We used $0.3R_S$ the grid interval in the previous simulations.
(in the real distance $0.3 \times$ about $60,000\text{km}=18,000\text{km}$)
 - It is still MHD coverage distance in the Kronian magnetosphere if the rumor radius in the solar wind may be over 100km .
 - We need to run the higher resolution simulation and study the dynamics of Kronian magnetosphere and aurora.



◆ Simulation setting

□ Grid size

- $(n_x, n_y, n_z, n_{mhd}) = (1800, 1216, 608, 8)$ *about 42GB
- Use 7 times larger memory (300GB) than the grid size in the calculation
- Write the 300 simulation data for 20 hours in the real time (about 24TB)
- Grid interval $0.1R_s$

□ Simulations run on the following supercomputer

- FX1 at the Nagoya University and HA8000 at the University of Tokyo
- 1024 cores is used for 700 hours (cpu time) as a collaboration research
- Post processing is performed on M9000 which has the large shared-memory

□ Parallelization by MPI

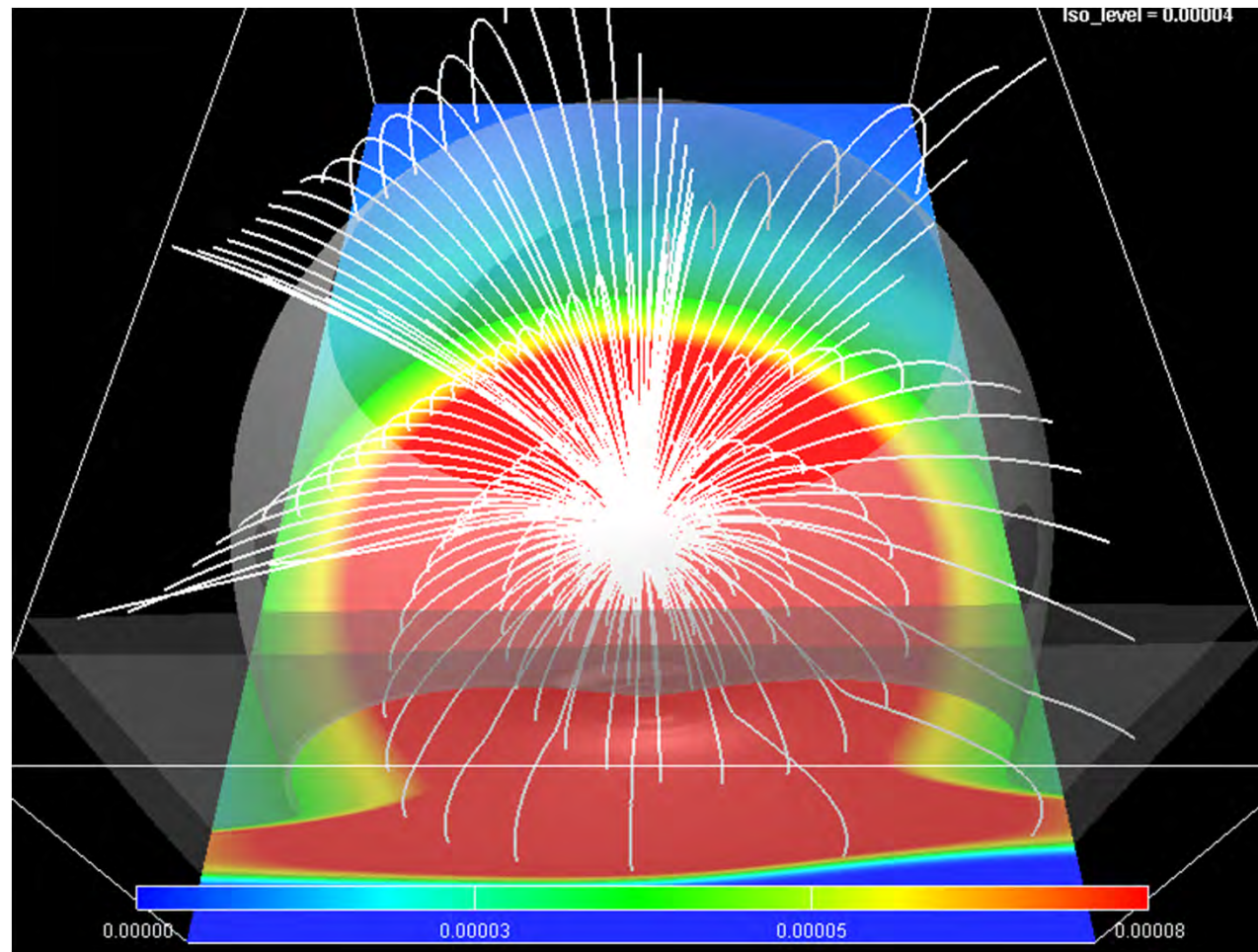
- 2 dimensional decomposition with Flat MPI on 1024 cores

□ Solar wind condition

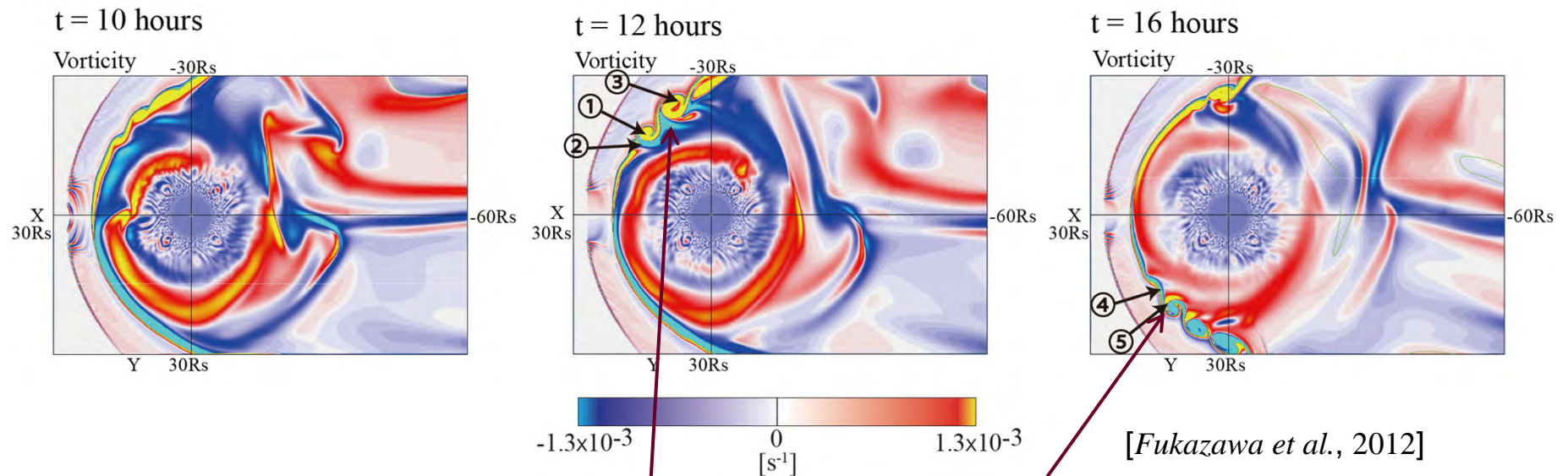
- Northward IMF = 0.4nT , $D_{sw} = 0.0082\text{nPa}$



◆ The movie of magnetic field strength



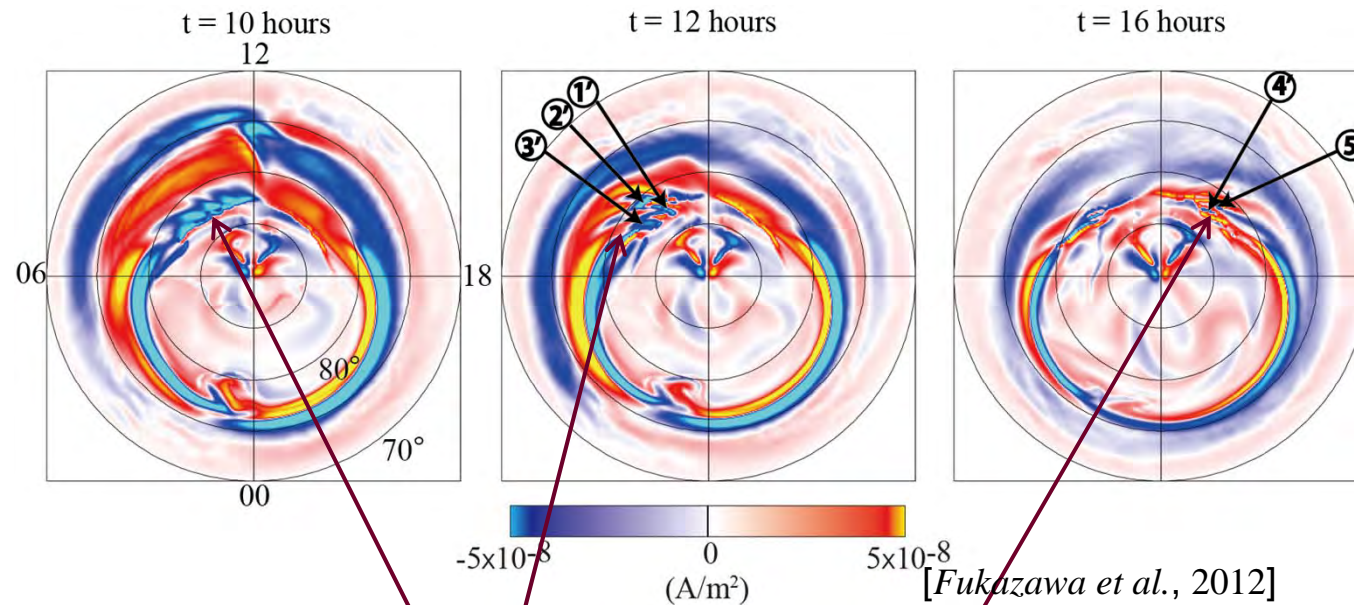
◆ Vorticity on equatorial plane at three snapshots



Vortices are formed along the magnetopause

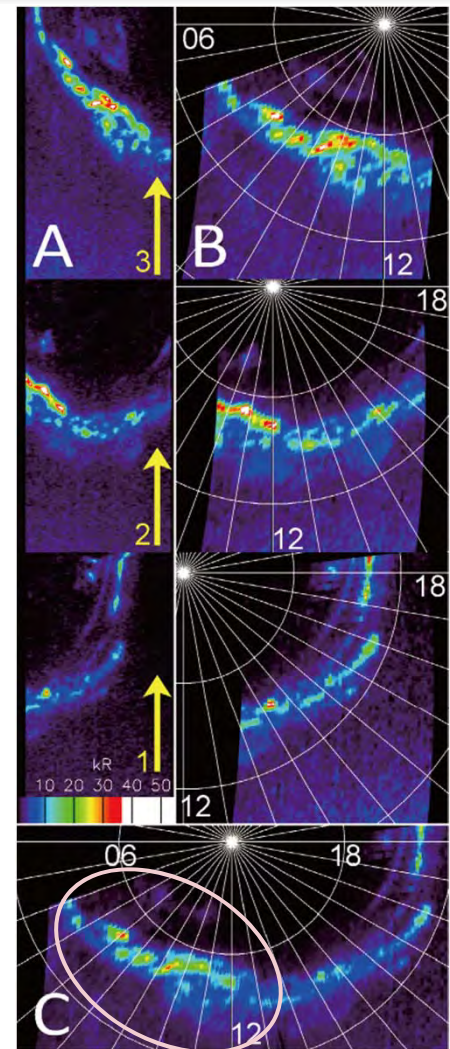
The flow has formed clear vortices which extend 2.7 to 4.1 R_s along the longer axis for these cases.

◆ FACs on polar southern ionosphere



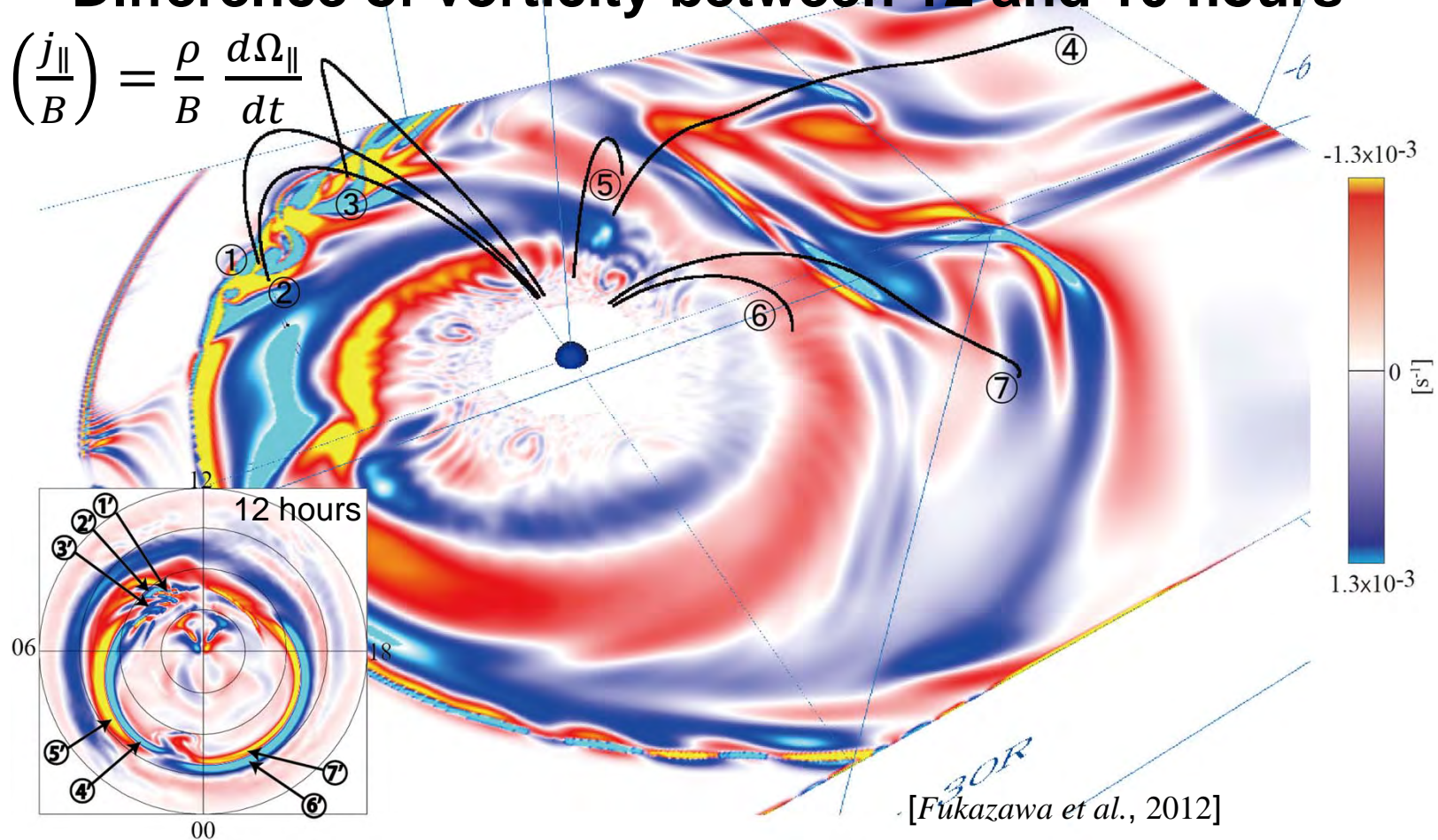
Patchy and spot like feature is appeared

Fig.8. Pseudoimages obtained with the FUV channel of the Cassini - UVIS spectro - imager on DOY 239 (26 August) of 2008. [Grodent et al., 2011]



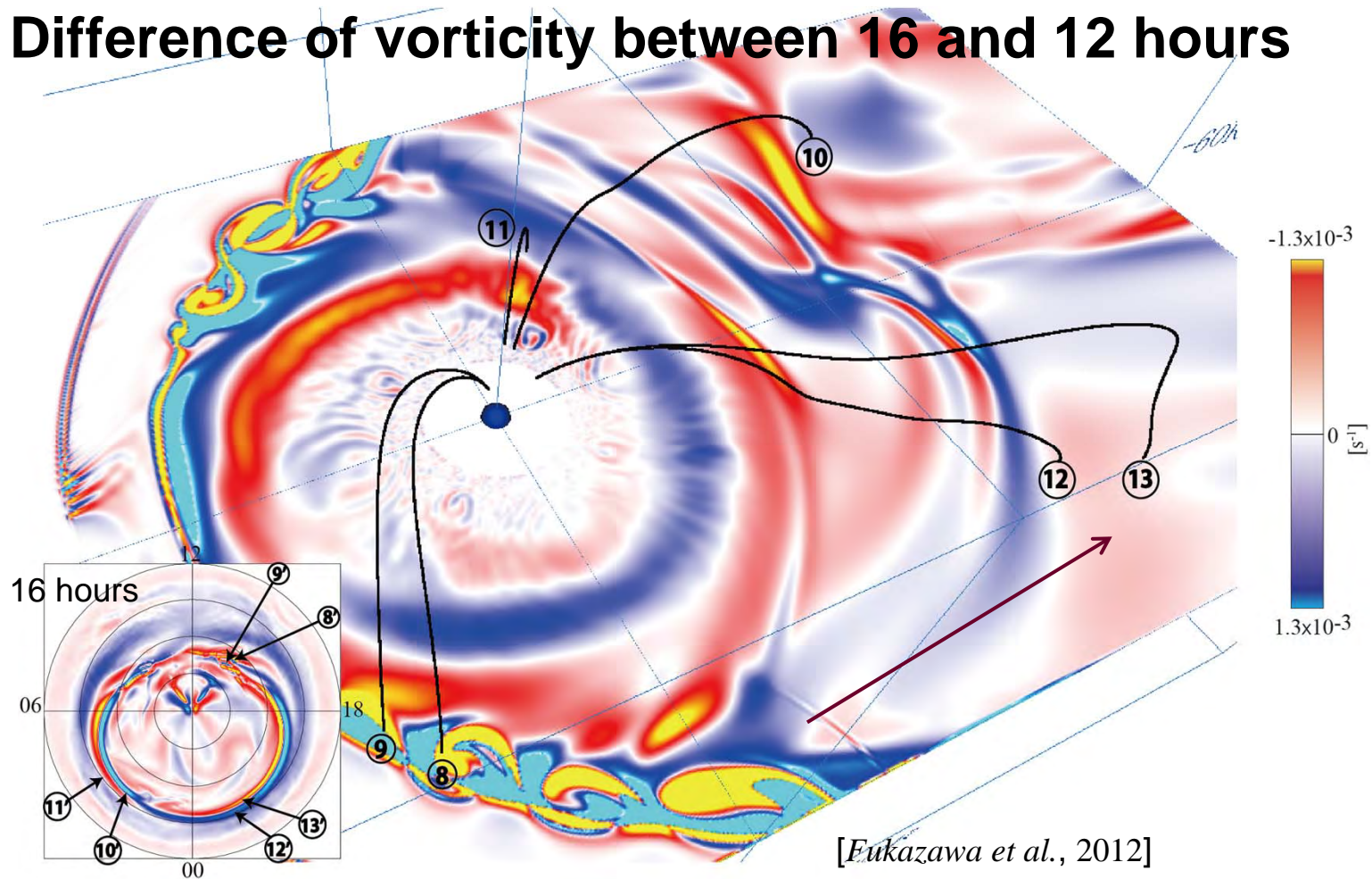
◆ Relation of FACs to vortex in magnetosphere Difference of vorticity between 12 and 10 hours

$$B \frac{\partial}{\partial s} \left(\frac{j_{\parallel}}{B} \right) = \frac{\rho}{B} \frac{d\Omega_{\parallel}}{dt}$$



◆ Relation of FACs to vortex in magnetosphere

Difference of vorticity between 16 and 12 hours



◆惑星磁気圏超並列高効率MHDシミュレーションの開発

- 磁場がある惑星には磁気圏があり、それぞれが特徴的である。
- 土星磁気圏は非常に乱れた対流構造を持っており、その構造とオーロラの発光の関連性が示唆されている。
- 磁気圏という巨大な構造の中で詳細な対流構造を解くには、計算機リソースが必要であり、本プロジェクトで実行が可能となった。
- FX1が混んでいたため、東大T2Kの実行で補完することで、新しい土星磁気圏の計算が行え、きれいな渦構造を得た。
- 計算結果からオーロラ構造を調べた結果、渦構造と最新の土星オーロラ観測結果であるパッチ状構造に関連があることが示唆された。
- 今後は、条件を変えたシミュレーションを引き続き行い、実際の観測された太陽風を利用した計算も行う予定である。

